

پایش و پیش‌بینی اثر خشکسالی‌ها بر دبی چشممه‌های کارستی شهرستان کرمانشاه

امان الله فتحنیا* - استادیار اقلیم‌شناسی، گروه جغرافیا، دانشگاه رازی، کرمانشاه
علی احمدآبادی - استادیار گروه ژئومورفولوژی، دانشگاه خوارزمی
سعید رجایی - دانشجوی دکتری اقلیم‌شناسی، دانشگاه رازی، کرمانشاه
جعفر معصوم‌پور سماکوش - استادیار اقلیم‌شناسی، گروه جغرافیا، دانشگاه رازی، کرمانشاه

پذیرش مقاله: ۱۳۹۵/۶/۱۷ تأیید نهایی: ۱۳۹۵/۱۱/۲۱

چکیده

آبخوان کارست در مناطق آهکی اهمیت زیادی در تأمین آب مصرفی دارد، این آبخوان‌ها تحت تأثیر دوره‌های افزایش و کاهش بارش و همچنین تغییرات اقلیمی قرار دارند. به‌منظور مدیریت پایدار منابع آب، شناسایی تغییرات دبی چشممه‌های کارستی این آبخوان‌ها ضروری می‌باشد. در تحقیق حاضر تحلیل سری‌های زمانی هیدرولوژیکی، بین دبی چشممه‌های کارستی شهرستان کرمانشاه و بارش با استفاده از شاخص بارش استاندارد شده، آزمون من-کنдал و زنجیره مارکوف برای پایش و پیش‌بینی خشکسالی و اثر آن بر دبی چشممه‌های انجام گرفت. همچنین ارتباط بارش-دبی و تأخیر زمانی به صورت کوتاه و بلندمدت با همبستگی پیرسون بررسی شد. داده‌های تحقیق شامل دبی سراب‌های بی‌ابر، ورنجه و نیلوفر و بارش ایستگاه‌های هواشناسی کرمانشاه، روانسر و اسلام‌آباد غرب برای دوره زمانی ۱۳۶۸-۸۸ به صورت ماهانه و سالانه بود. نتایج تحقیق نشان داد بین دبی سراب و رمنجه (۰/۰۶۴۲) و بی‌ابر (۰/۶۳۹۶) با بارش ایستگاه هواشناسی اسلام‌آباد غرب و سراب نیلوفر با ایستگاه هواشناسی کرمانشاه (۰/۴۸۴) بیشترین همبستگی وجود دارد. به دلیل حالات مختلف بارش مانند جامد یا مایع، توزیع و شدت آن، اثر بارش بر افزایش دبی با تأخیر حداقل ۲ ماه و حداقل ۶ ماه مشاهده شد. نتایج آزمون من-کنдал بیانگر افزایش مقدار بارش (۱۳۶۸-۷۶) و سپس کاهش (۱۳۷۷-۸۸) می‌باشد که دبی سراب بی‌ابر همین روند را نشان می‌دهد، و دبی سراب نیلوفر از سال ۱۳۸۷ چهار تغییر کاهشی شده است. نتایج آزمون زنجیره مارکوف نشان داد که در هر سه ایستگاه احتمال رخداد دوره خشک بیشتر از دوره بارانی است، در ایستگاه اسلام‌آباد غرب (۰/۸۹۲)، در ایستگاه روانسر (۰/۸۹۰) و در ایستگاه کرمانشاه (۰/۸۸۶) می‌باشد. مطالعه نشان داد که احتمال افزایش دوره‌های خشک در آینده بیشتر و به تبع آن دبی سراب‌های موردمطالعه کاهش خواهد یافت. مطالعه شاخص SPI سالانه روند کاهش دبی با خشکسالی را نسبت به دوره‌های تر بهتر نشان می‌دهد.

واژگان کلیدی: خشکسالی، چشممه‌های کارستی، دبی، بارش، کرمانشاه.

مقدمه

محیط‌زیست در جهان طی قرن بیستم تغییرات اساسی داشته است (یان^۱ و همکاران، ۱۹۹۹). اخیراً مطالعات در این زمینه توجه دانشمندان علوم زیستی را به خود جلب نموده است، به علاوه ارتباط میان آب‌های زیرزمینی و آب‌وهوا برای هیدرولوژیست‌ها دارای اهمیت فراوانی می‌باشد (آلی^۲، ۲۰۰۱). پراکندگی کنونی منابع آب بر روی کره زمین اثر مستقیم گرمایش جهانی می‌باشد (واگنر^۳، ۱۹۹۰).

اساساً دبی سالانه چشممه‌های کارستی به شرایط آب‌وهوای، وضعیت زمین‌شناسی و کارست بستگی دارد. مطالعه دبی چشممه‌های کارستی در دوره زمانی ۴۲ ساله در منطقه شنتو^۴ کشور چین تغییرات دبی را نسبت به بارش نشان می‌دهد. همچنین فعالیت‌های انسانی در درجه دوم بر میزان آبدی چشممه‌های کارستی اثرگذار بوده است (ما^۵ و همکاران، ۲۰۰۴). شرایط آب‌وهوای، کارست و خصوصیات زمین‌شناسی، رژیم هیدرولوژیکی سالانه چشممه‌های کارستی را تعیین می‌کند. آبخوان کارست به عنوان ذخیره‌گاه طبیعی بارش، تحت تأثیر دوره‌های افزایش و کاهش بارش و همچنین تغییرات اقلیمی بلندمدت قرار دارد (چن^۶ و همکاران، ۲۰۰۴). از نظر وسعت و ارتباط داخلی، دو نوع عمده آبخوان کارستی وجود دارد. یک نوع آن به دلیل گسترش انحلال آهک و وجود درز و شکاف وسیع، هزمان با افزایش و یا کاهش بارش دبی خروجی، عکس‌العمل سریع نشان می‌دهد (سی‌ویتا^۷، ۲۰۰۵). نوع دوم آبخوان به دلیل گسترش کم درز و شکاف، دبی حداقل مدتی پس از بارش اتفاق می‌افتد (واتیت^۸، ۲۰۰۲). تعیین آبدی سیستم‌های بزرگ کارستی از طریق بررسی بارش و دوره‌های کاهش تغذیه انجام می‌شود. آمارها نشان می‌دهد که سال‌های هیدرولوژیکی تابعی از بارش سال قبل می‌باشد. در شرایط آب‌وهوای مدیترانه و شرایط هیدرولوژیکی محل، حداقل اوج سالانه هیدروگراف در طی فصل بهار مشاهده می‌شود، همچنین تغذیه ناکافی به دلیل کمبود بارش سالیانه، اوج هیدروگراف دبی چشممه‌ها را متأثر می‌سازد؛ این هیدروگراف نشان‌دهنده خشکسالی بوده که تحت تأثیر کاهش طولانی‌مدت تغذیه آب طی سالیان متداول رخ می‌دهد. در سری‌های زمانی طولانی‌مدت و رژیم خاص چشممه‌های کارستی؛ کاهش دبی از اوایل زمستان قابل پیش‌بینی بوده و برای مدیریت منابع آب کارست مفید می‌باشد (فیوریلو^۹، ۲۰۰۹). نتایج مطالعات در منطقه کارستی گوانگزی^{۱۰} در کشور چین نشان می‌دهد که خشکسالی و سیل در مناطق کارستی نتیجه عوامل آب‌وهوای، زمین‌شناسی و انسان می‌باشد (روی^{۱۱} و همکاران، ۲۰۱۲). نتایج بررسی احتمال وقوع پدیده‌های خشکسالی و ترسالی با استفاده از مدل زنجیره مارکف و نمایه SPI در شهر تهران بیانگر احتمال گذر از یک حالت معین به همان حالت محتمل‌تر از گذر به سایر شرایط است. احتمال Pdd (احتمال وقوع خشکسالی بعد از خشکسالی) بیشتر از Pww (احتمال وقوع ترسالی بعد از ترسالی) است. به طور کلی احتمال تعادل حالت نرمال بیش از همه و احتمال تعادل حالت خشکسالی بیشتر از ترسالی است. هرچقدر مقیاس زمانی SPI طولانی‌تر می‌گردد از تعداد خشکسالی‌های مورد انتظار کاسته می‌شود و بر عکس طول دوره‌های خشکسالی افزایش می‌یابد و انتظار وقوع پدیده خشکسالی بیش از پدیده ترسالی است (صادقی‌نیا و همکاران،

¹- Yan²- Alley³- Waggoner⁴- Shantuo⁵- Ma⁶- Chen⁷- Civita⁸- White⁹- Fiorillo¹⁰- Guangxi¹¹- Rui

(۱۳۹۲). نتایج مطالعه تأثیر تغییر اقلیم بر چشم‌های سراب نیلوفر حاکی از آن است که چشم‌های دارای سیستم افسان و رژیم پایدار است که نسبت به تغییر اقلیم‌ها کمتر واکنش نشان می‌دهد (فتوت و همکاران، ۱۳۸۶). بررسی رابطه ۲۷ تغییر اقلیمی با میزان آبدهی ۴ سراب کارستی خرم‌آباد با استفاده از روش‌های رگرسیونی در مقیاس‌های زمانی مختلف نشان داد برای پیش‌بینی دبی سراب‌های کارستی شهر خرم‌آباد، متغیرهای بارشی در دوره‌های ماهانه، فصلی و سالانه نقش به مراتب ضعیفتری از متغیرهای دمایی دارد و از بین متغیرهای دمایی، حداقل مطلق دما مؤثرترین متغیر در برآورد مقادیر دبی می‌باشد (لشنی‌زن و غلام‌رضائی، ۱۳۹۰). خوش‌الخلق و همکاران (۱۳۹۰) با بررسی نقش خشکسالی‌های شدید در آبدهی چشم‌های کارستی کرمانشاه به این نتیجه رسیدند که چشم‌های زاگرس شکسته از نوع مجرایی هستند. چشم‌های زون زاگرس شکسته با یک تأخیر زمانی ۳ ماهه نسبت به حداکثر بارش واکنش نشان داده و تقریباً به طور کامل خشک گردیده‌اند و تأثیرپذیری چشم‌های زاگرس شکسته از خشکسالی بسیار بیشتر زاگرس چین‌خورده می‌باشد. رحمتی (۱۳۹۳) با بررسی ارتباط بارش و دبی در دو آبخوان کارستی، بیستون-پرآو و کوه پا طاق استان کرمانشاه به این نتیجه رسید که دبی حداکثر با ۱ ماه تأخیر همراه می‌باشد و نشان‌دهنده همبستگی بارش و دبی چشم‌های سطح معنی‌داری ۱ درصد هستند.

نتایج تحلیل همبستگی بلندمدت دوره‌های خشکی شاخص SPI ۱۲ ماهه و دبی کارست در جنوب ایتالیا نشان‌دهنده روند یکسان کاهش بارش و دبی می‌باشد، با کاهش شاخص SPI به کمتر از ۱- دبی کاهش یافته و با کاهش SPI به کمتر از ۱/۵- که نشان از کاهش طولانی‌مدت بارش می‌باشد، دبی چشم‌های کارستی همان سال کاهش می‌یابد (فیوریلو و گوداگنو^۱، ۲۰۱۰). در استان کرمانشاه حدود ۵۵۰ سراب و چشم‌بزرگ و کوچک با آبدهی سالانه ۸۲۷ میلیون مترمکعب وجود دارد. سراب نیلوفر یکی از سراب‌های مهم شهرستان کرمانشاه است و جزء مناطق مهم گردشگری کرمانشاه محسوب می‌شود که از آن همچنین برای مصارف در بخش کشاورزی نیز استفاده می‌شود. با کاهش بارش، این سراب در تابستان ۱۳۹۴ کاملاً خشکید. سراب و منجه ۱۵۰ هکتار از زمین‌های کشاورزی روستای ورمنجه و آب آشامیدنی مردم این روستا را تأمین می‌کند، این سراب در تابستان ۱۳۸۷ بر اثر خشکسالی کاملاً خشکید. سراب بی‌ابر نزدیک روستای چقاماران بی‌ابر در دهستان میان‌دریند بخش مرکزی کرمانشاه واقع شده است، از آب این سراب جهت مصارف بخش کشاورزی این روستا و در درجه دوم برای شرب استفاده می‌شود. سراب بی‌ابر نیز از سال ۱۳۸۶ در ایام گرم سال تقریباً می‌خشکد. با توجه به تحقیقات اهمیت چشم‌های کارستی ذکر شده در تأمین آب شرب، کشاورزی و گردشگری، هدف پژوهش حاضر، بررسی وضعیت دبی چشم‌های کارستی و ارتباط آن با نوسانات و تأخیر زمانی بارش و پیش‌بینی تکرار دوره‌های خشک و تر و اثر آن بر دبی در آینده در شهرستان کرمانشاه می‌باشد.

روش تحقیق

در مطالعه حاضر داده‌های دبی ماهانه چشم‌های کارستی بی‌ابر، نیلوفر و ورمنجه و بارش ماهانه نزدیک‌ترین ایستگاه‌های هواشناسی شامل کرمانشاه، روانسر و اسلام‌آباد غرب برای دوره زمانی ۱۳۶۸-۸۸ که به صورت همزمان دارای داده کامل بودند، بررسی شد. داده‌های دبی از سازمان آب منطقه‌ای کرمانشاه و داده‌های بارش از سازمان هواشناسی کرمانشاه اخذ گردید. برای بررسی مقادیر دبی و بارش از آزمون من-کنال و شاخص SPI به صورت سالانه استفاده شد. همچنین از آزمون زنجیره مارکوف برای بررسی احتمال تکرار دوره‌های خشک یا مرتبط در آینده و تأثیر آن بر دبی سراب‌ها استفاده شد. برای بررسی میزان تأخیر زمانی اثر بارش بر مقدار دبی چشم‌های کارستی موردمطالعه، بارش از سال ۱۳۶۸ و دبی از حالت حداقل (همزمان) تا حداکثر تأخیر (۱۲ ماه) آزمون همبستگی گرفته شد، یعنی حداقل

^۱- Guadagno

به صورت همزمان و حداکثر تأخیر بارش با دبی ۱۲ ماه بعد همبستگی بررسی شد.
آزمون من-کندال

در آزمون من-کندال بعد از رتبه‌بندی داده‌ها و محاسبه آماره t_i به رتبه‌های ماقبل خود است، فراوانی تجمعی آماره t_i محاسبه شد. در ادامه، آماره‌های E_i (معرف امید ریاضی)، V_i (واریانس) و U_i (شاخص مقایسه‌ای آزمون)، محاسبه شد که معادله آماره‌های فوق به شرح ذیل می‌باشد:

$$t_i = \sum_{i=1}^n t_i \quad \text{رابطه (۱)}$$

$$E_i = \frac{n_i(n_i - 1)}{4} \quad \text{رابطه (۲)}$$

$$V_i = \frac{n_i(n_i - 1)(2n_i + 5)}{72} \quad \text{رابطه (۳)}$$

$$u_i = \frac{(\sum t_i - E_i)}{\sqrt{v_i}} \quad \text{رابطه (۴)}$$

در معادلات فوق n_i ترتیب زمانی داده‌ها است. برای ترسیم نمودار آزمون و آشکارسازی روند معنی‌دار یا غیر معنی‌دار سری زمانی باید آماره‌های قرینه‌ای با عنوانین t'_i ، E'_i ، V'_i و U'_i محاسبه شود که معادله E'_i و V'_i متفاوت از بالا می‌باشد:

$$E'_i = \frac{[N - (n_i - 1)][(N - n_i)]}{4} \quad \text{رابطه (۵)}$$

$$V'_i = \frac{[[N - (n_i - 1)][(N - n_i)][2(N - n_i)]] + 5}{72} \quad \text{رابطه (۶)}$$

در معادلات فوق N طول دوره آماری است. محل تلاقی t'_i و E'_i در محدوده اطمینان ۹۵ درصد، بیانگر تعییرات معنی‌دار سری زمانی آمار بوده و رفتار t'_i بعد از محل تلاقی وضعیت نزول یا صعود سری را مشخص می‌کند (شهرابی و همکاران، ۱۳۸۸).

۲-۲. شاخص استاندارد شده بارش

برای بررسی وجود خشکسالی در دوره‌های مورد مطالعه از شاخص SPI استفاده شد که در اینجا توضیح داده می‌شود.

$$SPI = \frac{P_{ik} - \bar{P}_i}{\sigma_i} \quad \text{رابطه (۷)}$$

SPI: شاخص بارش استاندارد شده، P_{ik} : مقادیر بارش نامین ایستگاه در کالهین مشاهده به میلی‌متر، \bar{P}_i : میانگین بارش نامین ایستگاه به میلی‌متر، σ_i : انحراف معیار نامین ایستگاه می‌باشد. نتایج شاخص بر حسب مقدار (جدول ۱) باید طبقه‌بندی می‌شود (مک‌کی و همکاران، ۱۹۹۳).

جدول ۱: مقیاس طبقه‌بندی شاخص SPI

| مقدار SPI | وضعیت | ترسالی بسیار شدید | ترسالی شدید | ترسالی ضعیف | خشکسالی شدید | خشکسالی بسیار شدید |
|-----------|----------|-------------------|-------------|---------------|---------------|--------------------|
| ≤ -2 | ≥ 2 | -۱/۹۹ تا -۱/۵ | -۱/۴۹ تا -۱ | -۰/۹۹ تا ۰/۹۹ | -۰/۹۹ تا ۱/۴۹ | -۱/۹۹ تا -۱/۵ |

لازم به ذکر است در ابتدای تحقیق خصوصیات زمین‌شناسی و اثر آن بر پیدایش چشم‌های کارستی بررسی شد. در ادامه تحقیق اثر تأخیر زمانی بارش ایستگاه‌های موردمطالعه بر دبی چشم‌های کارستی و ضریب همبستگی آن‌ها با روش پیرسون در سطح معنی‌داری 10% به طور ماهانه موردمطالعه قرار گرفت.

زنجیره مارکوف

فرایند تصادفی $X = [X_t, t \in N]$ یک زنجیره مارکوف نامیده می‌شود، اگر برای هر $t \in N$ و $j \in E$ ، شرط زیر صادق باشد که در آن، یک مجموعه قابل تمارش است (حکیمی‌پور، ۱۳۷۶):

$$P[X_{t+1} = j | X_t, X_{t-1}, \dots, X_1] = P[X_{t+1} = j | X_t] \quad (8)$$

عبارت فوق بیانگر احتمال وجود سیستم در زمان $t+1$ در حالت j است، به شرط اینکه در زمان t حالت سیستم مشخص و حالت‌های رخداده قبلی نیز مشخص باشد، در واقع، احتمال شرطی است و بیان می‌کند که نتیجه هر فرایند در زمان $t+1$ تنها به شرایط در زمان t بستگی دارد. فرایندهایی که چنین خاصیتی دارند یک زنجیره مارکوف مرتبه اول نامیده می‌شوند.

احتمال شرطی P_{ij} ، $i, j \in E$ برای $P[X_{t+1} = j | X_t = i]$ ، احتمال انتقال سیستم از حالت i به زمان $t+1$ نامیده می‌شود که به صورت زیر تعریف می‌گردد:

$$P_{ij} = P[X_{t+1} = j | X_t = i] = \frac{N[X_t = i, X_{t+1} = j]}{N[X_t = i]} \quad (9)$$

که در رابطه فوق، $N[X_t = i, X_{t+1} = j]$ تعداد انتقالات از حالت i به حالت j و $N[X_t = i]$ تعداد کل دوره‌های قرار گرفته در حالت i می‌باشد. معمولاً P_{ij} را با توجه به حالت‌های یک سیستم با یک اریش مربعی مرتب می‌کنند و نتیجه آن ماتریس مربع P است که ماتریس انتقال زنجیره مارکوف X نامیده می‌شود:

$$P = \begin{bmatrix} P_{00} & P_{01} & P_{02} & \dots & P_{0n} \\ P_{10} & P_{11} & P_{12} & \dots & P_{1n} \\ P_{20} & P_{21} & P_{22} & \dots & P_{2n} \\ \vdots & \vdots & \vdots & & \vdots \\ P_{n0} & P_{n1} & P_{n2} & \dots & P_{nn} \end{bmatrix} \quad (10)$$

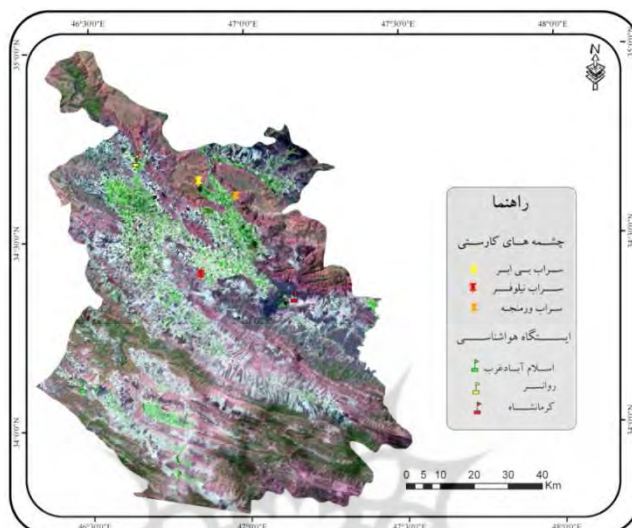
در ماتریس P ، احتمال ورود به سیستم از حالت i به حالت j بزرگتر یا مساوی صفر می‌باشد (برای هر $i, j \in E$ و $P_{ij} \geq 0$ است). همچنین به دلیل آنکه یک سیستم به احتمال صد درصد در یکی از مجموعه حالت‌های ممکن در هر لحظه‌ای از زمان خواهد بود، مجموع احتمالات هر سطر می‌بایست برابر با یک باشد یعنی برای هر $i \in E$

$$\sum_{j=0}^n P_{ij} = 1, \quad i \in E$$

است (حکیمی‌پور، ۱۳۷۶). لازم به ذکر است که عناصر قطر اصلی ماتریس P بیانگر پایداری و ابقاء هر وضعیت می‌باشد. در این پژوهش برای بررسی احتمال تکرار دوره‌های خشک یا مرطوب و اثر آن بر دبی چشم‌های کارستی از مدل زنجیره مارکوف استفاده شد.

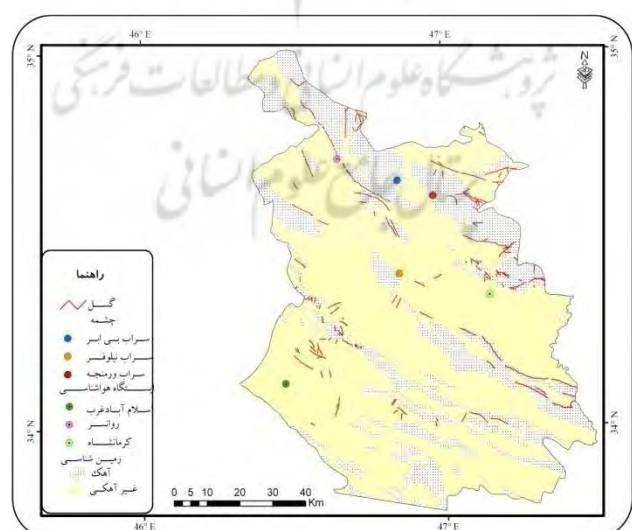
بحث و یافته‌ها

سراب بی‌ابر و ورمنجه در بخش‌های شمالی منطقه موردمطالعه و در کوهستان‌های حجمی‌تر نسبت به سراب نیلوفر قرار گرفته است. شکل ۱ توزیع ایستگاه‌های هواشناسی و سراب‌ها بر روی منطقه موردمطالعه نشان می‌دهد. همچنان که ملاحظه می‌شود سراب‌ها در شمال و جنوب، آب دشت کرمانشاه را تأمین می‌کنند. علت انتخاب ایستگاه‌های هواشناسی سینوپتیک کرمانشاه، روانسر و اسلام‌آباد غرب، نزدیکی به منطقه موردمطالعه بود.



شکل ۱: تصویر ماهواره‌ای منطقه موردمطالعه، توزیع ایستگاه‌های هواشناسی و سراب‌ها

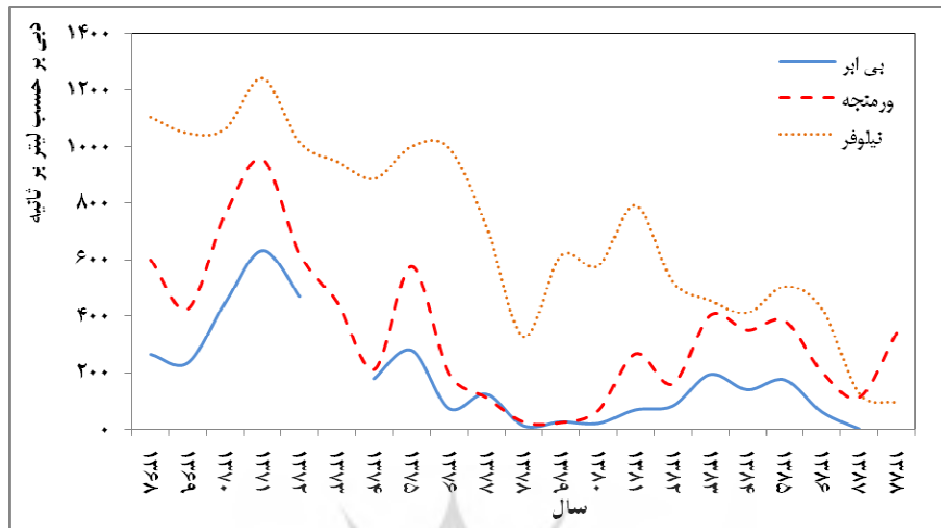
بیشتر حجم توده آهکی به ترتیب در اطراف سراب بی‌ابر، سراب ورمنجه و سراب نیلوفر مشاهده می‌شود. توزیع بیشتر گسل‌ها بر روی توده کوهستانی تغذیه‌کننده سراب ورمنجه نشان‌دهنده نقش آن در توسعه این سراب می‌باشد. اما در نزدیکی دیگر چشممه‌های کارستی گسل مشاهده نمی‌شود. شکل ۲ وضعیت زمین‌شناسی و گسل‌های منطقه موردمطالعه را نشان می‌دهد.



شکل ۲: وضعیت زمین‌شناسی منطقه موردمطالعه، گسل، توزیع ایستگاه‌های هواشناسی و سراب‌ها

مقدار دبی چشممه‌های کارستی بر حسب لیتر بر ثانیه در هرسال نشان می‌دهد (شکل ۳) بیشترین مقدار دبی مربوط به سراب نیلوفر و سپس ورمنجه می‌باشد. کمترین ارتفاع مربوط به سراب نیلوفر با ارتفاع ۱۳۲۰ متر و سپس سراب ورمنجه با ارتفاع ۱۳۲۹ متر و سراب بی‌ابر با ارتفاع ۱۳۶۳ متر می‌باشد. از ابتدای دوره مطالعاتی تا سال ۱۳۸۸ در چشممه‌های کارستی روند کاهش دبی مشاهده می‌شود که بیشترین کاهش مربوط به سراب نیلوفر است که از بالاترین مقدار ۱۲۴۱

لیتر بر ثانیه) به کمتر از ۱۰۰ لیتر بر ثانیه در سال ۸۸ کاهش یافته است. اما بیشترین ضریب تغییرات در سراب بی‌ابر به مقدار ۰/۹۴، سپس سراب ورمنجه به مقدار ۰/۷۲ و درنهایت مریوط به سراب نیلوفر به مقدار ۰/۴۷ می‌باشد.



شکل ۳: مقدار دبی سراب‌ها بر حسب لیتر بر ثانیه در سال (۱۳۶۸-۸۸)

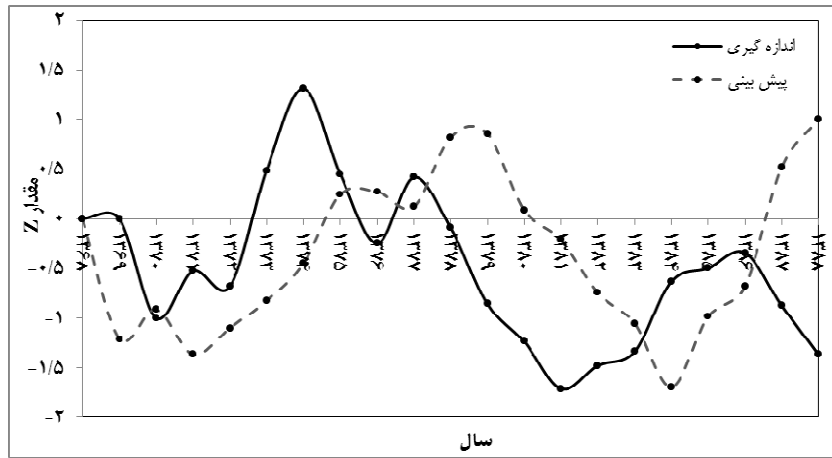
مقدار دبی همراه با افزایش یا کاهش بارش نوسان می‌کند. برای بررسی مقدار همبستگی دبی به بارش از تزدیک‌ترین ایستگاه‌های مجاور استفاده شد (جدول ۲). همبستگی سراب‌های بی‌ابر و ورمنجه با ایستگاه اسلام‌آباد غرب بیشتر بوده و سراب نیلوفر با بارش ایستگاه هواشناسی کرمانشاه بیشتر می‌باشد، به آن معنی که نوسان بارش ایستگاه‌های کرمانشاه و اسلام‌آباد غرب به ترتیب تغییرات دبی سراب‌های نیلوفر و بی‌ابر را در سطح معنی‌داری ۰/۰ توجیه می‌کند.

جدول ۲: همبستگی مقدار دبی چشممه‌های کارستی با بارش ایستگاه‌های هواشناسی

| ایستگاه هواشناسی | اسلام‌آباد غرب | روانسر | کرمانشاه | سراب |
|------------------|----------------|--------|----------|------|
| سراب بی‌ابر | ۰/۶۴ | ۰/۵۷ | ۰/۵۸ | |
| سراب نیلوفر | ۰/۴۲ | ۰/۴ | ۰/۴۸ | |
| سراب ورمنجه | ۰/۶۴ | ۰/۵۵ | ۰/۵۵ | |

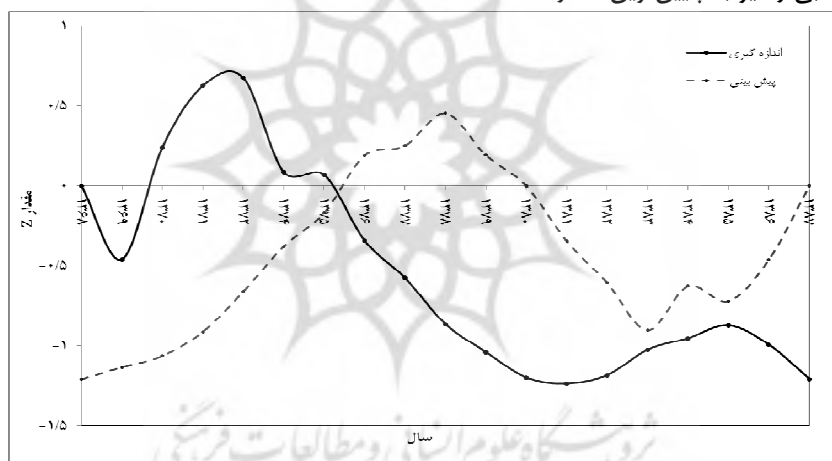
* همبستگی پیرسون در سطح معنی‌داری ۱ درصد می‌باشد

نتایج آزمون من-کن达尔 بارش ایستگاه اسلام‌آباد غرب (شکل ۴) با سراب بی‌ابر (شکل ۵) و ورمنجه (شکل ۶) به دلیل همبستگی بیشتر ابتدا مورد بررسی قرار می‌گیرد. نتایج نشان می‌دهد خط ممتد U_i (مقدار واقعی) از سال ۱۳۶۸ تا ۱۳۷۶ در حدود ۰/۱ (مقادیر پیش‌بینی) افزایش یافته و مثبت است، بنابراین یک دوره ترسالی رخداده است، اما بین سال‌های ۱۳۷۷-۸۸ دو خط U_i و U' هم‌دیگر را قطع نموده و U' مقدار بیشتری نسبت به مقدار واقعی پیش‌بینی کرده است که نشان یک دوره خشکسالی است. با توجه به اینکه در طی دوره مطالعاتی مقدار واقعی بارش از محدوده اطمینان ۹۵ درصد (۲ تا -۲) خارج نشده است، روند مشاهده شده نوسان کاهشی یا افزایشی بوده و تغییر نمی‌باشد. ضریب من-کن达尔 سراب بی‌ابر با ایستگاه اسلام‌آباد غرب حدود ۰/۴۵ در سطح معنی‌داری ۰/۰۱ و سراب نیلوفر با ایستگاه کرمانشاه حدود ۰/۴۲ در سطح معنی‌داری ۰/۰۰ و سراب ورمنجه با ایستگاه روانسر حدود ۰/۰۷ در سطح معنی‌داری ۰/۰۵ می‌باشد.



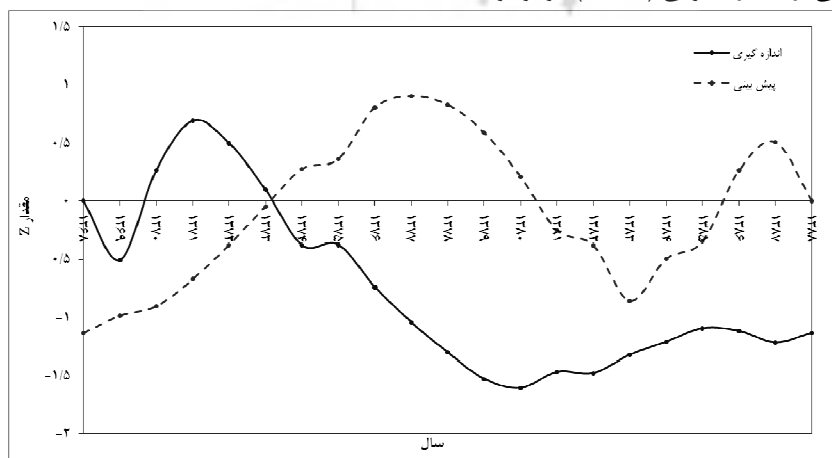
شکل ۴: آزمون من - کندال بارش ایستگاه اسلام‌آباد غرب

دبی سراب بی‌ابر بین سال‌های ۱۳۶۸-۷۶ به دلیل ترسالی بیش از مقدار پیش‌بینی بوده است، اما بین سال‌های ۸۸-۱۳۷۷ به دلیل کاهش بارش، مقدار دبی کمتر از حالت پیش‌بینی بوده است. بیشترین کاهش بارش طی سال ۱۳۸۱ رخداده که مقدار دبی را نیز به پایین‌ترین حد رسانده است.



شکل ۵: آزمون من - کندال دبی سراب بی‌ابر

مقدار واقعی دبی سراب ورمنجه از سال ۱۳۷۴ تا پایان دوره مطالعاتی از مقدار پیش‌بینی کمتر شده است. درمجموع نوسانات مقدار دبی از مقدار بحرانی (۲ تا-۲) فراتر نرفته است.



شکل ۶: آزمون من - کندال دبی سراب ورمنجه

نتیجه آزمون زنجیره مارکوف برای ۱۲ ماه برای ایستگاه اسلام‌آباد غرب نشان می‌دهد در درجه اول احتمال گذر از خشکی به خشکی و در درجه دوم احتمال گذر از دوره مرطوب به مرطوب وجود دارد (جدول ۳). به عبارت بهتر این امر نشان‌دهنده تکرار دوره‌های خشک‌تر در ایستگاه موردمطالعه و دبی هر چه کمتر چشممهای مرتبط با این ایستگاه در آینده می‌باشد.

جدول ۳: ماتریس احتمال حالات مختلف گذر بر اساس داده‌های بارش ایستگاه اسلام‌آباد غرب

| | | |
|---|--|--|
| $P(\text{Jan}) = \begin{matrix} D & [0.76 & 0.24] \\ W & [0.45 & 0.55] \end{matrix}$ | $P(\text{Feb}) = \begin{matrix} D & [0.77 & 0.23] \\ W & [0.45 & 0.55] \end{matrix}$ | $P(\text{Mar}) = \begin{matrix} D & [0.77 & 0.23] \\ W & [0.44 & 0.56] \end{matrix}$ |
| $P(\text{Apr}) = \begin{matrix} D & [0.78 & 0.23] \\ W & [0.49 & 0.51] \end{matrix}$ | $P(\text{May}) = \begin{matrix} D & [0.84 & 0.16] \\ W & [0.52 & 0.48] \end{matrix}$ | $P(\text{Jun}) = \begin{matrix} D & [0.91 & 0.1] \\ W & [0.48 & 0.53] \end{matrix}$ |
| $P(\text{July}) = \begin{matrix} D & [0.91 & 0.09] \\ W & [0.47 & 0.53] \end{matrix}$ | $P(\text{Agu}) = \begin{matrix} D & [0.91 & 0.09] \\ W & [0.45 & 0.55] \end{matrix}$ | $P(\text{Sep}) = \begin{matrix} D & [0.91 & 0.09] \\ W & [0.47 & 0.53] \end{matrix}$ |
| $P(\text{Oct}) = \begin{matrix} D & [0.86 & 0.14] \\ W & [0.45 & 0.55] \end{matrix}$ | $P(\text{Nov}) = \begin{matrix} D & [0.81 & 0.19] \\ W & [0.47 & 0.54] \end{matrix}$ | $P(\text{Dec}) = \begin{matrix} D & [0.8 & 0.21] \\ W & [0.45 & 0.55] \end{matrix}$ |

خشکی، W رطوبت

به صورت سالانه در ایستگاه اسلام‌آباد غرب احتمال این‌که فرایند بارش در یک مرحله از خشک به خشک انتقال یابد برابر با $P_{(D \rightarrow D)} = 0.891$ در صورتی که احتمال در حالت انتقال از حالت خشک به بارانی در یک حالت برابر است. پس از احتمال حالت خشک به خشک بیشترین احتمال برای چند روز بارش متوالی با ضریب احتمالی $0.53 = P_{(w \rightarrow w)}$ می‌باشد (ماتریس ۱).

$$P = \begin{matrix} D & [0.89 & 0.11] \\ W & [0.47 & 0.53] \end{matrix}$$
 ماتریس ۱

در جدول ۴ نتیجه آزمون زنجیره مارکوف برای ایستگاه روانسر به صورت ماهانه نشان داده شده است. بر این اساس، احتمال خشکی و روزهای بدون بارش از فصل سرد سال به سمت تابستان افزایش می‌یابد. به شکلی که ماههای ژوئن، جولای، آگوست و سپتامبر خشک‌ترین ماههای سال را نمایش می‌دهد و احتمال بارش تقریباً صفر می‌باشد. این نتایج نشان‌دهنده این مطلب است که مقدار دبی متناسب با احتمال گذر به دوره‌های خشک نیز کاهش می‌یابد.

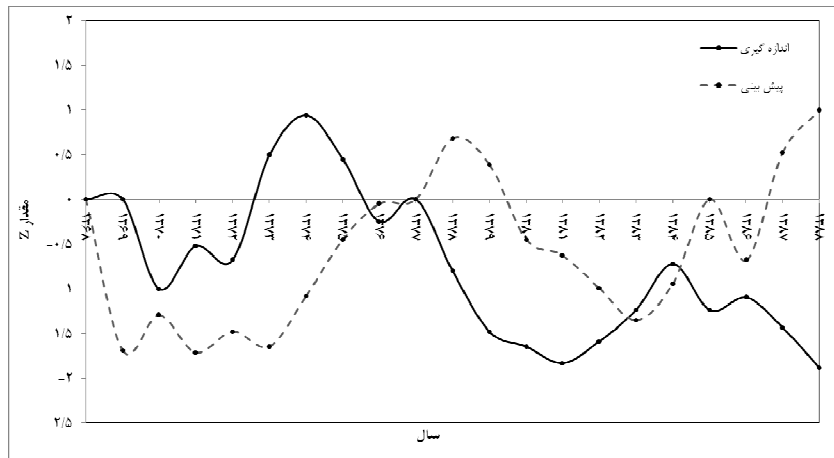
جدول ۴: ماتریس احتمال حالات مختلف گذر بر اساس داده‌های بارش ایستگاه روانسر

| | | |
|---|--|--|
| $P(\text{Jan}) = \begin{matrix} D & [0.76 & 0.24] \\ W & [0.42 & 0.59] \end{matrix}$ | $P(\text{Feb}) = \begin{matrix} D & [0.74 & 0.26] \\ W & [0.4 & 0.6] \end{matrix}$ | $P(\text{Mar}) = \begin{matrix} D & [0.78 & 0.2] \\ W & [0.43 & 0.57] \end{matrix}$ |
| $P(\text{Apr}) = \begin{matrix} D & [0.78 & 0.22] \\ W & [0.47 & 0.54] \end{matrix}$ | $P(\text{May}) = \begin{matrix} D & [0.84 & 0.13] \\ W & [0.6 & 0.4] \end{matrix}$ | $P(\text{Jun}) = \begin{matrix} D & [0.98 & 0.02] \\ W & [0.74 & 0.26] \end{matrix}$ |
| $P(\text{July}) = \begin{matrix} D & [0.99 & 0.01] \\ W & [0.88 & 0.13] \end{matrix}$ | $P(\text{Agu}) = \begin{matrix} D & [0.99 & 0.01] \\ W & [1 & 0] \end{matrix}$ | $P(\text{Sep}) = \begin{matrix} D & [0.99 & 0.02] \\ W & [0.77 & 0.23] \end{matrix}$ |
| $P(\text{Oct}) = \begin{matrix} D & [0.93 & 0.07] \\ W & [0.43 & 0.57] \end{matrix}$ | $P(\text{Nov}) = \begin{matrix} D & [0.83 & 0.17] \\ W & [0.46 & 0.54] \end{matrix}$ | $P(\text{Dec}) = \begin{matrix} D & [0.8 & 0.2] \\ W & [0.47 & 0.53] \end{matrix}$ |

در ایستگاه هواشناسی روانسر به صورت سالانه احتمال این‌که فرایند بارش در یک مرحله از خشک به خشک انتقال یابد برابر با $P_{(D \rightarrow D)} = 0.89$ در صورتی که احتمال در حالت انتقال از حالت خشک به بارانی در یک حالت برابر است. پس از احتمال حالت خشک به خشک بیشترین احتمال برای چند روز بارش متوالی با ضریب احتمالی $0.55 = P_{(w \rightarrow w)}$ می‌باشد (ماتریس ۲).

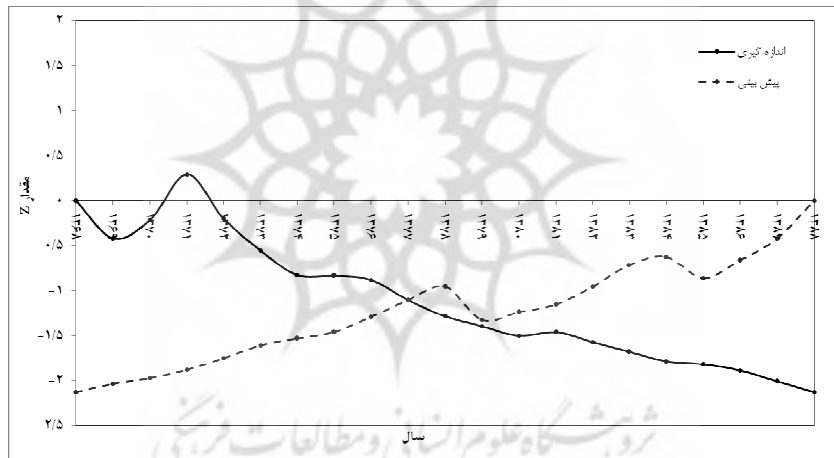
$$P = \begin{matrix} D & [0.89 & 0.11] \\ W & [0.45 & 0.55] \end{matrix}$$
 ماتریس ۲

با توجه به اینکه مقدار همبستگی دبی سراب نیلوفر با بارش ایستگاه کرمانشاه بیشتر بود نتایج آزمون من-کندال باهم بررسی شد. نتایج نشان می‌دهد بارش طی سال‌های ۱۳۶۸-۷۷ بیش از مقدار پیش‌بینی بوده، اما طی سال‌های ۸۸-۱۳۷۷ از مقدار پیش‌بینی کمتر بوده است. بر اساس آزمون من-کندال از سال ۱۳۸۱ در پارامتر بارش تغییرات بیشتر شده است.



شکل ۷: آزمون من - کندال بارش ایستگاه کرمانشاه

بر اساس آزمون من - کندال مقدار دبی سراب نیلوفر طی سال ۱۳۷۷-۸۸ از مقدار پیش‌بینی کمتر شده است به‌طوریکه از سال ۱۳۸۷ دچار تغییر (بیش از -۲) شده است. لازم به ذکر است که بیشترین تغییرات در دبی مربوط به سراب نیلوفر می‌باشد.



شکل ۸: آزمون من - کندال دبی سراب نیلوفر

نتیجه آزمون زنجیره مارکوف به صورت ماهانه برای ایستگاه کرمانشاه در درجه اول احتمال گذر از خشکی به خشکی و در درجه دوم احتمال گذر از دوره مرتبط به مرطوب را نشان می‌دهد (جدول ۵). به عبارت بهتر این امر نشان‌دهنده تکرار دوره‌های خشک‌تر در ایستگاه مورد مطالعه و دبی هر چه کمتر سراب نیلوفر در آینده می‌باشد.

جدول ۵: ماتریس احتمال حالات مختلف گذر بر اساس داده‌های بارش ایستگاه کرمانشاه

| | | |
|--|---|--|
| $P(Jan) = \begin{matrix} D & [0.75 & 0.25] \\ W & [0.48 & 0.52] \end{matrix}$ | $P(Feb) = \begin{matrix} D & [0.74 & 0.27] \\ W & [0.47 & 0.53] \end{matrix}$ | $P(Mar) = \begin{matrix} D & [0.77 & 0.23] \\ W & [0.45 & 0.56] \end{matrix}$ |
| $P(Apr) = \begin{matrix} D & [0.76 & 0.24] \\ W & [0.53 & 0.48] \end{matrix}$ | $P(May) = \begin{matrix} D & [0.87 & 0.13] \\ W & [0.51 & 0.49] \end{matrix}$ | $P(Jun) = \begin{matrix} D & [0.98 & 0.02] \\ W & [0.85 & 0.15] \end{matrix}$ |
| $P(July) = \begin{matrix} D & [0.99 & 0.01] \\ W & [0.67 & 0.33] \end{matrix}$ | $P(Agu) = \begin{matrix} D & [0.99 & 0.01] \\ W & [1 & 0] \end{matrix}$ | $P(Sep) = \begin{matrix} D & [0.99 & 0.012] \\ W & [0.79 & 0.22] \end{matrix}$ |
| $P(Oct) = \begin{matrix} D & [0.92 & 0.08] \\ W & [0.43 & 0.57] \end{matrix}$ | $P(Nov) = \begin{matrix} D & [0.83 & 0.17] \\ W & [0.46 & 0.54] \end{matrix}$ | $P(Dec) = \begin{matrix} D & [0.8 & 0.2] \\ W & [0.51 & 0.49] \end{matrix}$ |

در ایستگاه هواشناسی کرمانشاه فرایند احتمال گذر از خشک به خشک برابر با $P_{(D \rightarrow D)} = 0.89$ در صورتی که احتمال گذر از حالت خشک به بارانی $P_{(D \rightarrow W)} = 0.12$ است. پس از احتمال حالت خشک به خشک بیشترین احتمال برای چند روز بارش متولی با ضریب احتمالی $P_{(W \rightarrow W)} = 0.52$ می‌باشد (ماتریس ۲).

$$P = \begin{matrix} D & [0.89 & 0.12] \\ W & [0.48 & 0.52] \end{matrix} \quad \text{ماتریس ۲}$$

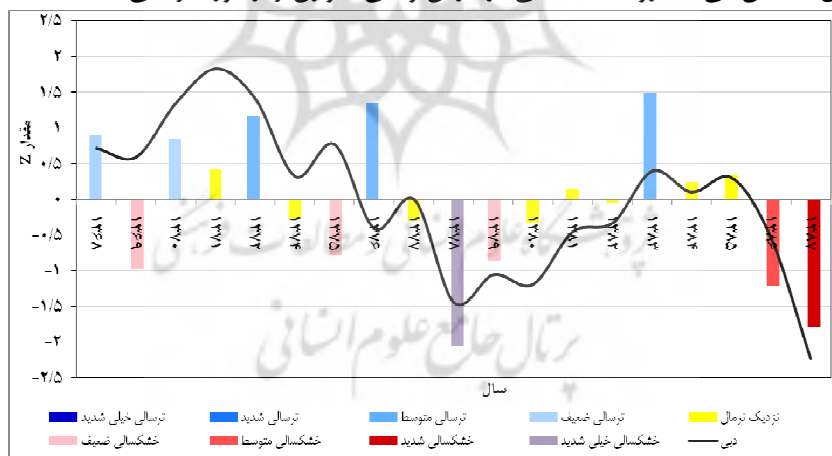
نتایج مقدار تأخیر زمانی بارش (۶ ماهه) و اثر آن بر مقدار دبی به صورت بلندمدت سالیانه در جدول ۶ نشان داده شده است. نتایج نشان داد مقدار بارش ۶ ماه قبل بر مقدار دبی اثرگذار است، برای مثال بارش مهرماه بر دبی فروردین ماه اثر بیشتری دارد و به همین ترتیب. بیشترین همبستگی بین بارش فروردین ماه و دبی مهرماه وجود دارد و کمترین همبستگی مربوط به بارش ماههای مرداد و اسفند و ارتباط آن با دبی بهمن و اسفندماه می‌باشد. لازم به ذکر است که مقدار دبی در کوتاه‌مدت ماهانه با تأخیر دو ماه روپرتو بوده است، به طوریکه برای مثال افزایش بارش اردیبهشت‌ماه بر روی دبی تیرماه اثرگذار بوده است. تفاوت تأخیر بلندمدت و کوتاه‌مدت به ویژگی‌های بارش (توزیع روزانه و ماهانه، حالات جامد یا مایع و شدت) برمی‌گردد که احتمالاً دوره مطالعاتی تغییر یافته است.

جدول ۶: اثر تأخیر زمانی پارش اپستگاه‌های مطالعاتی بر مقدار دبی در سراب‌ها

| شهریور | مرداد | تیر | خرداد | اردیبهشت | فروردین | اسفند | بهمن | دی | آذر | آبان | مهر | پارش |
|--------|-------|-----|-------|----------|---------|--------|-------|-----|-------|----------|---------|--------|
| اسفند | بهمن | دی | آذر | آبان | مهر | شهریور | مرداد | تیر | خرداد | اردیبهشت | فروردین | دی |
| ۰۰ | ۰۰ | ۰/۶ | ۰/۹۹ | ۰/۹۳ | ۱ | ۰/۹۵ | ۰/۴۲ | ۰/۳ | ۰/۱۲ | ۰/۹۹ | ۰/۸۳ | همستگی |

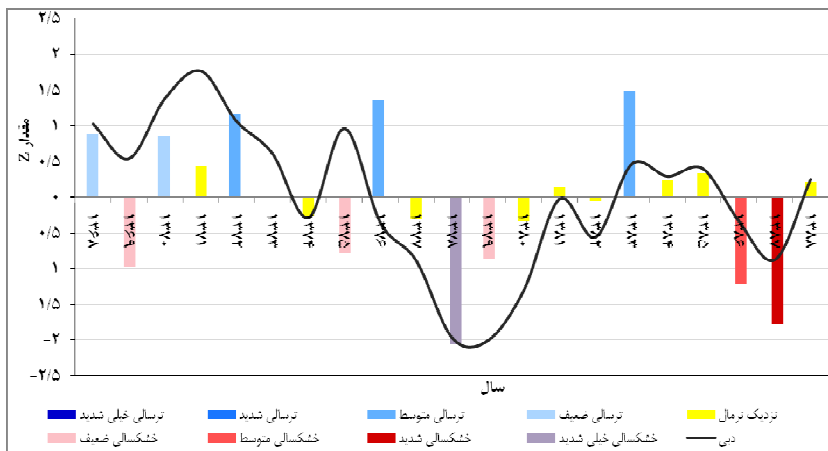
*همیستگی، پیرسون در سطح معنی‌داری ۱ درصد می‌باشد

نتایج شاخص بارش استاندارد شده (SPI) برای متغیرهای بارش ایستگاه اسلام‌آباد غرب و دبی سراب بی‌ابر (شکل ۹) نشان می‌دهد که تا سال ۱۳۷۵ مقدار دبی بیش از بارش بوده است و از سال ۱۳۷۸ این حالت بر عکس شده است. همچنین شاخص SPI نشان می‌دهد که همراه با نوسان بارش در اغلب موارد چنین روندی در مقدار دبی مشاهده می‌شود که نشان از وابستگی بالای دبی چشم‌های کارستی به پارامتر بارش است. در دوره مطالعاتی ۲ مورد خشکسالی بسیار شدید مشاهده می‌شود که یکی در سال ۱۳۷۸ و دیگری ۱۳۸۷ که مقدار دبی نیز با همین روند کاهش یافته است. همچنان که شکل ۹ نشان می‌دهد روند خشکسالی در بارش و دبی متوازن‌تر از دوره ترسالی است.

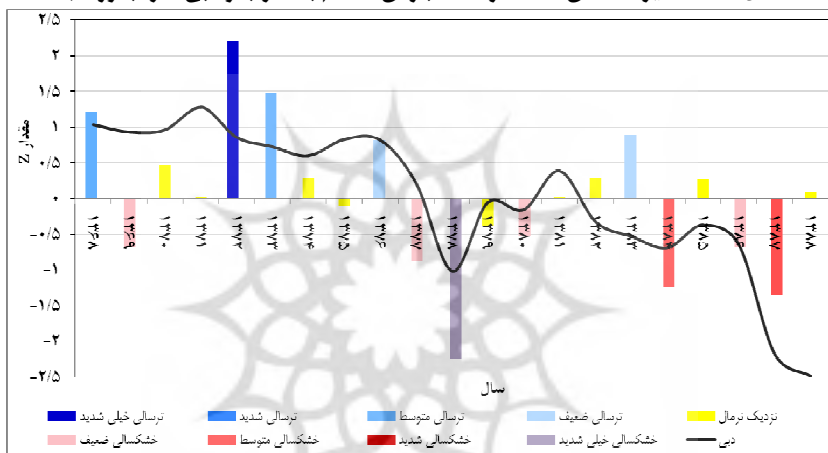


شکل ۹: مقادیر شاخص استاندار دشده بارش اسلام آباد غرب و دیگر سوابع ایران

نتایج شاخص بارش استاندارد شده (SPI) برای متغیرهای بارش ایستگاه اسلام‌آباد غرب و دبی سراب بی‌ابر (شکل ۱۰) نشان می‌دهد که یک دوره ترسالی (تا سال ۱۳۷۵) و به‌تبع آن افزایش دبی اتفاق افتاده است، اما با رخداد خشکسالی از سال ۱۳۷۶ تا ۱۳۸۸ مقدار دبی نیاز کاهش چشمگیری داشته است، به‌طوریکه مقدار دبی از ۵۵۷ لیتر بر ثانیه در سال ۱۳۷۵ به ۱۱۴ لیتر بر ثانیه در سال ۱۳۷۶ کاهش یافته است و در سال ۱۳۷۸ (خشکسالی شدید) به ۲۷ لیتر بر ثانیه رسیده که تا ۱۳۸۱ این کاهش دبی چشمگیر بوده است. مقدار بارش نیز از ۶۳۵ میلی‌متر در سال ۱۳۷۶ به ۲۵۲ میلی‌متر در سال ۱۳۷۸ رسیده است.



شکل ۱۰: مقادیر شاخص استانداردشده بارش اسلام‌آباد غرب و دبی سراب و رونجه



شکل ۱۱: مقادیر شاخص استانداردشده بارش کرمانشاه و دبی سراب نیلوفر

نتایج شاخص بارش استانداردشده بارش ایستگاه کرمانشاه و دبی سراب نیلوفر در شکل ۱۱ نشان داده شده است. همچنان که ملاحظه می‌گردد در روند خشکسالی بسیار شدید در بارش (۱۳۷۸) مقدار دبی نیز به نحو چشمگیری کاهش داشته است و ارتباط بارش و دبی در خشکسالی‌ها بازتر است. در مجموع شاخص SPI نشان می‌دهد که در دوره مطالعاتی روند بارش و دبی به سمت کاهش بوده است.

نتیجه‌گیری

آبخوان کارست از منابع آبی عمدہ به شمار می‌رود که تحت تأثیر نوسانات و ویژگی‌های بارش در کوتاه و بلندمدت قرار می‌گیرد. مطالعه حاضر باهدف بررسی اثر خشکسالی بر روی مقدار دبی و ارتباط دبی با بارش ایستگاهی و همچنین اثر تأخیر زمانی بارش بر تغییرات دبی انجام گرفت. نتایج تحقیق نشان داد بیشترین همبستگی بین دبی سراب و رونجه (۰/۶۴) و بی‌ابر (۰/۶۴) با بارش ایستگاه هواشناسی اسلام‌آباد غرب وجود دارد، همچنین همبستگی دبی سراب نیلوفر با ایستگاه هواشناسی کرمانشاه (۰/۴۸) بیشتر است. نتایج تأخیر زمانی بلندمدت بارش بر مقدار دبی نشان داد مقدار بارش ۶ ماه قبل بر روی دبی موردنظر اثرگذار است، برای مثال دبی اردبیله‌شت‌ماه متأثر از بارش آبان می‌باشد. بارش در کوتاه‌مدت ماهانه حدود ۲ ماه بعد بر روی دبی اثرگذار است. دلیل تفاوت در کوتاه و بلندمدت به ویژگی بارش مانند حالت جامد یا توزیع و شدت مربوط می‌شود. نتایج حاصل از آزمون من-کنداش نشان داد که مقدار بارش ابتدا افزایش (۱۳۶۸-۷۶) و سپس کاهش (۱۳۷۷-۸۸) داشته است، بدبی سراب بی‌ابر نیز همین روند را نشان می‌دهد. بیشترین نوسان کاهشی در دبی سراب بی‌ابر و بارش مربوط به سال ۱۳۸۱ می‌باشد. کاهش دبی سراب و رونجه از سال ۱۳۷۴ رخداده

است. بارش در ایستگاه کرمانشاه بین سال‌های ۱۳۷۷-۸۸ روند کاهشی داشته است که همین روند از سال ۱۳۷۷ در دبی سراب نیلوفر مشاهده می‌شود و از سال ۱۳۸۷ دچار تغییر شده و از مقدار بحرانی فراتر رفته است. درمجموع نتایج شاخص SPI سالانه برای دبی و بارش نشان می‌دهد که این شاخص در نشان دادن روندهای کاهشی دبی با خشکسالی بارش بهتر از دوره‌های تر می‌باشد. نتایج آزمون زنجیره مارکوف به صورت سالانه نشان داد در ایستگاه هواشناسی کرمانشاه ابتدا فرایند احتمال رخداد گذر از دوره خشک به خشک $P_{(D \rightarrow D)} = 0.89$ و سپس احتمال چند روز بارش متوالی با ضربی $P_{(W \rightarrow W)} = 0.52$ می‌باشد، درصورتی که احتمال گذر از حالت خشک به بارانی $P_{(D \rightarrow W)} = 0.12$ است. در ایستگاه اسلام‌آباد غرب احتمال گذر از خشک به خشک $P_{(D \rightarrow D)} = 0.89$ ، سپس احتمال چندین روز بارش متوالی $P_{(W \rightarrow W)} = 0.53$ می‌باشد. در ایستگاه هواشناسی روانسر احتمال گذر از دوره خشک به خشک $P_{(D \rightarrow D)} = 0.89$ درصورتی که احتمال در حالت انتقال از حالت خشک به بارانی در یک حالت برابر $P_{(D \rightarrow W)} = 0.11$ است. درمجموع نتایج آزمون مارکوف نشان‌دهنده افزایش احتمال خشکی در ایستگاه‌های مورد مطالعه است که باعث می‌شود در آینده دبی چشممه‌های مورد مطالعه رو به کاهش بگذارد. پیش‌بینی دوره‌های خشکسالی و اثر آن بر دبی چشممه‌های کارستی می‌تواند در برنامه‌ریزی برای بهره‌برداری بهینه از ذخایر آبخوان کارست مفید فایده باشد.

منابع

- حکیمی‌پور، ابوالقاسم، ۱۳۷۶، تصمیم‌گیری در مدیریت، کاربرد فرضیه زنجیره‌های مارکوف در تصمیم‌گیری مدیریت، چاپ اول، انتشارات استان قدس رضوی، مشهد.
- خوش‌اخلاق، فرامرز، باقری سیدشکری، سجاد و طاهر صفرزاد، ۱۳۹۳، واکاوی تأثیرگذاری خشکسالی‌های شدید بر آبدھی چشممه‌های کارستی استان کرمانشاه (مطالعه موردی: خشکسالی شدید سال ۸۷-۱۳۸۶)، فضای جغرافیایی، جلد ۱۴، شماره ۴۸ صفحات ۱-۱۹.
- رحمتی، محمد، ۱۳۹۳، مقایسه اثر خشکسالی هواشناسی بر آبدھی چشممه‌ها در آبخوان‌های کارستی مختلف، استاد راهنمای، حمیدرضا مرادی، پایان‌نامه کارشناسی ارشد، دانشگاه تربیت مدرس.
- شهرابی، محمدمهدی، معروفی، صفر، سبزی‌پرور، علی‌اکبر و زهره مریانجی، ۱۳۸۸، بررسی وجود روند در بارش سالانه استان همدان با استفاده از روش من کندال، مجله پژوهش‌های حفاظت آب‌وچاک، جلد شانزدهم، شماره ۳، صص ۱۳-۱۶۹.
- صادقی‌نیا، علیرضا، حجازی‌زاده، زهرا، حمیدیان‌پور، محسن و راهبه پورسربندان، ۱۳۹۲، برآورد احتمالات خشکسالی و ترسالی با استفاده از نمایه SPI و مدل زنجیره مارکف مطالعه موردی: تهران، فصلنامه فضای جغرافیایی، دوره ۱۳، شماره ۴۳، صص ۸۱-۸۵.
- فتوت، مسعود و علی مهرابی، ۱۳۸۶، بررسی واکنش چشممه کارستی نیلوفر نسبت به تغییر اقلیم‌های اخیر استان کرمانشاه، کنفرانس منابع آب استان کرمانشاه، آذر ۱۳۸۶.
- لشنبه‌زند، مهران و سارا غلامرضاei، ۱۳۹۰، بررسی رابطه متغیرهای اقلیمی و آبدھی سراب‌های کارستی به منظور مدیریت منابع آب شهری (مطالعه موردی شهر خرم‌آباد)، فصلنامه آمايش محیط، شماره ۱۵، صص ۷۹-۶۱.
- Alley, W.M., 2001, *Ground water and climate*. *Ground Water*, 39(2), p. 161.
- Chen, Z., Grasby, S.E., and Osadetz, K.G., 2004, *Relation between climate variability and groundwater levels in the upper carbonate aquifer, southern Manitoba*, *Journal of Hydrology*, Vol. 290, pp. 43-62.
- Civita, M., 2005, *Idrogeologia applicata e ambientale: Casa Editrice Ambrosiana*, Milano, p. 794.

- Fiorillo, F., 2009. *Spring hydrographs as indicators of droughts in a karst environment*, Journal of Hydrology, Vol. 373, pp. 290–301.
- Fiorillo, F., Guadagno, F.M., 2010, *Karst Spring Discharges Analysis in Relation to Drought Periods, Using the SPI*, Water Resour Manage, Vol. 24, pp. 1867–1884.
- Ma, T., Wang, Y., and Guo, Q., 2004, *Response of carbonate aquifer to climate change in northern China: a case study at the Shentou karst springs*, Journal of Hydrology, Vol. 297, pp. 274–284.
- McKee, T. B., Doesken, N. J., Kleist, J., 1993, *The relationship of drought frequency and duration to time scales*. In: 8th conference on applied climatology, Anaheim, CA. American Meteorological Society, Boston, pp 179–184.
- Rui, Z., Chun-qing, G., Qiu-ju, F., and Lin-yan, P., 2012, *Study on the Drought and Flood Disasters Formation Mechanism in Karst Regions of Middle Guangxi*, Procedia Engineering, Vol. 28, pp. 277 – 281.
- Waggoner, P. E., 1990, *Climate Change and US Water Resources*, Wiley, New York.
- White, W.B., 2002, *Karst hydrology: recent developments and open questions*, Eng. Geol. Vol. 65, pp. 85–105.
- Yan, J.P., Huang, C.C., and Chen, Y., 1999, *Global Environmental Problems across Centuries and Action and Countermeasure*, Science Press, Beijing, pp. 12–136

